

## ДИНАМИЧЕСКАЯ МОДЕЛЬ ВЕЩЕСТВЕННОЙ ЧАСТИ АМПЛИТУДЫ РАССЕЯНИЯ НА УГОЛ НОЛЬ

И.И.Левинтов

Вещественная часть амплитуды упругого рассеяния вперед рассматривается на основе модели дифракционной диссоциации. В такой картине наблюдаемая при высоких энергиях положительность вещественной части означает, что  $\text{Re } f(0)$  является весьма периферическим эффектом – ореолом. Этот вывод согласуется с имеющимися экспериментальными данными.

Вещественная часть амплитуды упругого адрон-адронного рассеяния вперед при больших энергиях является важной характеристикой  $S$ -матрицы, однако, до сих пор не имеет наглядного динамического объяснения. В то время как динамика возникновения мнимой части хорошо прослеживается и качественно и количественно в моделях основанных на мультипериферических представлениях, которые в свою очередь получили пространственно-временное толкование в кварк-партонной картине<sup>1</sup>, а затем и в рамках  $QCD$ <sup>2-4</sup> вещественная часть определяется из мнимой на основе дисперсионных соотношений. Дисперсионные отношения в силу своего интегрального характера не дают, пока, возможности понять динамику возникновения вещественной части на базе привычной мультипериферической картины мнимой части.

Основная особенность  $\text{Re } f(0)$  состоит в том, что в районе  $E_{\text{лаб}} \gtrsim 10^2$  ГэВ величина  $\rho = \text{Re } f(0) / \text{Im } f(0)$  меняет знак, переходя от отрицательных значений при  $E_{\text{лаб}} < 10^2$  ГэВ к положительным  $\rho \sim +0,1$ . В настоящее время экспериментальные значения для  $\rho$  в области  $10^2 - 10^3$  ГэВ имеются лишь для  $pp$  и  $\pi\bar{p}$ -рассеяния<sup>5,6</sup>, однако эффект положительности  $\text{Re } f(0)$  при высоких энергиях имеет, по-видимому, универ-

сальный характер, так как вытекает из дисперсионных соотношений в связи с хорошо известным ростом  $\sigma_{tot}$ .

Амплитуда рассеяния в представлении прицельного параметра ( $b$ ) имеет вид  $f(b) = (\bar{\chi}(b) \exp 2i\bar{\delta}(b) - 1) / 2i$ , где  $0 < \bar{\chi}(b) < 1$  – прозрачность (доля выживших частиц).

Поскольку  $\text{Re } f(0) = \bar{\chi}(b) \sin 2\bar{\delta}(b) / 2$ , а  $\text{Im } f(b) = (1 - \cos 2\bar{\delta}(b)) \bar{\chi}(b) / 2$  – вопрос о вещественной части  $f(b)$  – сводится к вопросу о механизме возникновения фазового сдвига  $\bar{\delta}(b)$  в процессе рассеяния при высоких энергиях.

В основе нашего рассмотрения лежит идея восходящая к работам Файнберга и Померанчука <sup>7</sup>, а также Гуда и Уолкера <sup>8</sup>, о том, что составляющие волновой функции налетающего адрона, отвечающие разным внутренним координатам конstituэнтов поглощаются мишенью поразному. По образному выражению авторов работы <sup>10</sup> мишень действует как своеобразный фильтр, разрушающий „равновесную“ волновую функцию падающей частицы. Через некоторое время после прохождения через мишень (время адронизации  $t_a \cong E/m^2$ ) равновесие восстанавливается <sup>1,9</sup>. При этом составляющие начальной волновой функции адрона отвечающие неравновесно малым поперечным расстояниям между конstituэнтами (большие  $k_{\perp}$ ) распадаются, давая начало дифракционной диссоциации <sup>10</sup>.

Весьма существенно, что каждая профильтрованная составляющая волновой функции падающей частицы имеет некоторую амплитуду вероятности распада также в состояние отвечающее волновой функции начальной частицы; при этом, однако, возникает сдвиг фазы зависящий от координат прошедших через мишень конstituэнтов падающей частицы.

Волновую функцию падающей частицы представим в виде фоковского столбца, определенного в одновременной динамике на световом конусе <sup>10,11</sup>. Внутренними координатами  $\xi(x_i, k_{\perp i})$  такой волновой функции являются поперечные импульсы  $k_{\perp i}$  (или координаты  $r_{\perp i} = 1/k_{\perp i}$ ) конstituэнтов и доли продольного импульса на световом

конусе, уносимого конstituэнтами  $x_i = \frac{k_{0i} + k_{3i}}{p_0 + p_3}$ , где  $p_3$  – импульс падающей час-

тицы в системе с  $p_1 = p_2 = 0$ . При высоких энергиях прозрачность  $\chi$  и сдвиг фазы  $\delta$  могут быть записаны как функции энергии, прицельного параметра и внутренних координат налетающей частицы:  $\chi = \chi(E, b, \xi)$  и  $\delta = \delta(E, b, \xi)$ . С другой стороны волновая функция падающей частицы  $\psi(\xi)$  нормирована:  $\int |\psi(\xi)|^2 d\xi = 1$ . При рассеянии на угол  $0$  – спиральность сохраняется и поэтому мы не будем учитывать спины кварков. В этом случае  $\chi(E, b, \xi)$  и  $\delta(E, b, \xi)$  являются просто числами и мы можем определить ожидаемые значения физических величин  $\bar{\chi}(E, b)$  и  $\bar{\delta}(E, b)$ :  $\bar{\delta}(E, b) = \int d\xi |\psi(\xi)|^2 \delta(E, b, \xi)$  и аналогичное выражение для  $\chi(E, b)$ . Сформируем из налетающих частиц достаточно узкий волновой пакет ( $\Delta E \cong m$ ) со средней энергией  $E = (m^2 + p^2)^{1/2}$ , ( $p = p_3$ ) и средней фазой ( $pz - Et$ ) и проследим взаимодействие какой-нибудь из его фоковских конфигураций с мишенью толщиной  $\sim 1/m$ . Пусть пакет  $[\psi(\xi) \exp i(pz - Et)]$  к моменту  $t = 0$ ,  $z = 0$  подошел к мишени и взаимодействовал с ней. Первоначальная амплитуда фоковской конфигурации  $\psi(\xi)$  в результате взаимодействия уменьшилась, стала  $\eta_1(E, b, \xi) \psi(\xi)$ . Поэтому, через время  $t_a \cong E/m^2$  эта неравновесная конфигурация распадается, причем волновая функция после распада содержит также долю начальной волновой функции с амплитудой  $\eta_2(E, b, \xi) \eta_1(E, b, \xi) \psi(\xi)$  ( $\eta_2$  – зависит от  $E$  и  $b$ , так как при  $b >$  радиуса взаимодействия  $\eta_1 = \eta_2 = 1$ ). Таким образом на каждую конфигурацию  $\xi$  приходится доля „выживших“ частиц пучка  $\psi^*(\xi) \eta_1 \eta_2 \psi(\xi) = |\psi(\xi)|^2 \eta(E, b, \xi) = \chi(E, b, \xi)$  и

$$\bar{\chi}(E, b) = \int d\xi |\psi(\xi)|^2 \eta(E, b, \xi) \leq 1. \quad (1)$$

Величина  $|\psi(\xi)|^2 \delta(E, b, \xi)$  равна  $\chi(E, b, \xi) \delta(\xi)$ , где  $\delta(\xi)$  — сдвиг фазы, связанный с прохождением конфигурации  $\xi$ . Будем характеризовать конфигурацию  $\xi$  величинами  $x$  и  $k_{\perp}$  — долей продольного импульса и поперечным импульсом, уносимым одним из кварков ( $q$ ); соответствующие величины для всех остальных кварков и глюонов ( $q, g$ ) будут  $1-x$  и  $-k_{\perp}$ . Тогда фаза конфигурации  $\xi$  к моменту ее распада равна:

$$(x p z_a + (1-x) p z_a - (E_q + E_{qg}) t_a = [p - (k_{\perp}^2 + x^2 p^2)^{1/2} - (k_{\perp}^2 + (1-x)^2 p^2)^{1/2}] \frac{E}{m^2}$$

(мы пренебрегаем массой легких кварков и массой системы  $q, g$ ). Если  $b >$  радиуса взаимодействия, прошедший через мишень пакет к моменту  $t_a$  имел бы среднюю фазу  $(p - (m^2 + p^2)^{1/2}) (E/m^2)$ . Таким образом сдвиг фазы, связанный с прохождением конфигурации  $\xi$  равен:

$$\begin{aligned} \delta(\xi) &= - [(k_{\perp}^2 + x^2 p^2)^{1/2} + (k_{\perp}^2 + (1-x)^2 p^2)^{1/2} - (m^2 + p^2)^{1/2}] \frac{E}{m^2} = \\ &= \frac{1}{2} \left( 1 - \frac{k_{\perp}^2}{m^2 (1-x)x} \right). \end{aligned}$$

В итоге

$$\begin{aligned} \bar{\delta}(E, b) &= \frac{1}{2} \int d\xi \left( 1 - \frac{k_{\perp}^2}{m^2 (1-x)x} \right) |\psi(\xi)|^2 \eta(E, b, \xi) = \frac{1}{2} \left( 1 - \frac{\bar{k}_{\perp}^2}{m^2 (1-\bar{x})\bar{x}} \right)_{E, b} \times \\ &\times \int d\xi |\psi(\xi)|^2 \eta(E, b, \xi) = \frac{1}{2} \left( 1 - \frac{\bar{k}_{\perp}^2}{m^2 (1-\bar{x})\bar{x}} \right)_{E, b} \bar{\chi}(E, b). \quad (2) \end{aligned}$$

Видно, что  $\bar{\delta}(E, b)$  пропорциональна  $\bar{\chi}(E, b)$ . Величина  $(\bar{k}_{\perp}^2 / m^2 (1-\bar{x})\bar{x})_{E, b}$  характеризует конфигурации, при которых мишень оказывается наиболее прозрачной для падающей частицы при заданном  $b$ .

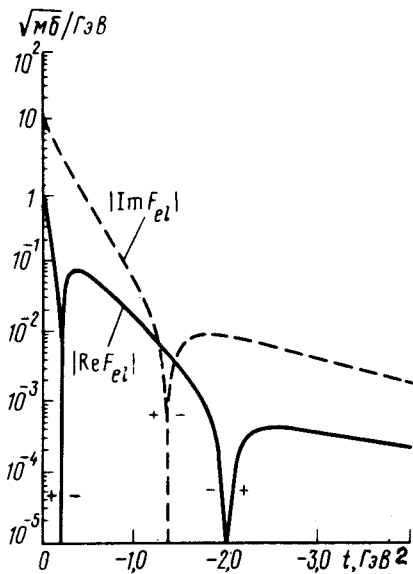
Меняя местами пучок и мишень, и сохраняя  $s$  получим выражения аналогичные (1) и (2) для  $\bar{\delta}_t(s, b)$  и  $\bar{\chi}_t(s, b)$  частиц мишени. Рассматривая взаимодействие двух волновых пакетов в СЦИ легко убедиться, что полный сдвиг фазы  $2\bar{\delta}(s, b) = \bar{\delta}_B(s, b) + \bar{\delta}_t(s, b)$ . С другой стороны в силу закона сохранения энергии импульса каждой упруго рассеянной частице пучка соответствует только одна упруго рассеянная частица мишени. Поэтому  $\chi_B(s, b) = \bar{\chi}_t(s, b) = \bar{\chi}(s, b)$ , и

$$2\bar{\delta}(s, b) = \bar{\chi}(s, b) \left( 1 - \frac{1}{2} \frac{\bar{k}_{\perp}^2}{m_B^2 (1-\bar{x})\bar{x}} - \frac{1}{2} \frac{\bar{k}_{\perp}^2}{m_t^2 (1-\bar{x})\bar{x}} \right)_{s, b}. \quad (3)$$

Усредненную по прицельному параметру величину  $(\bar{k}_{\perp}^2 / m^2 (1-\bar{x})\bar{x})_s$  для конфигураций наибольшей прозрачности можно оценить из экспериментальных данных о  $\rho$ . Для  $pp$ -рассеяния

$$\begin{aligned} \rho &= \frac{4\pi}{\sigma_t} \int \bar{\chi} \sin 2\bar{\delta} b db = \frac{4\pi}{\sigma_t} \int_0^R \bar{\chi}^2 \left( 1 - \frac{k_{\perp}^2}{m^2 (1-\bar{x})\bar{x}} \right)_{s, b} b db \cong \\ &\cong \frac{2\pi r_{\text{СК}}^2}{\sigma_t} \bar{\chi}^2(r_{\text{СК}}) \left( 1 - \frac{\bar{k}_{\perp}^2}{m^2 (1-\bar{x})\bar{x}} \right)_s, \quad (4) \end{aligned}$$

где  $\chi^2(r_{\text{СК}}) = 1 - 4G(r_{\text{СК}})$ ;  $G(r_{\text{СК}})$  — неупругая функция перекрытия при среднеквадратичном радиусе.



Реальная и мнимая части  $pp$ -рассеяния при  $\sqrt{s}=53$  ГэВ из работы <sup>12</sup>

Таким образом  $\rho > 0$ , когда  $k_{\perp}^2/m^2 (1-\bar{x})\bar{x} < 1$ . Это значит, что при больших энергиях выживание падающей частицы связано с прохождением конфигураций имеющих большие поперечные расстояния между конститuentами:  $r_{\perp} > 2/m$ . Этот вывод будет только усилен, если учесть массы кварков и массу системы  $q, g$ . Возникает вопрос, не противоречит ли это выводу  $QCD$  о том, что белые конфигурации пучка с большими  $k_{\perp}$  слабо взаимодействуют с мишенью, в то время как малые  $k_{\perp}$  почти полностью поглощаются <sup>2-4</sup>. Противоречие снимается, если предположить, что прохождение малых  $k_{\perp}$  становится возможным при высоких энергиях на периферии. Большие  $k_{\perp}$  хорошо проходят через мишень:  $\eta_1(k_{\perp} > m) \sim 1$ , но распадаются в основном не по входному каналу, а на фрагменты дифракционной диссоциации:  $\eta_2(k_{\perp} > m) \sim 0$ ; т.е. мишень для больших  $k_{\perp}$  — непрозрачна. Если прохождение малых  $k_{\perp}$  становится возможным на периферии то в дальнейшем эти валентные конфигурации „одеваются” и переходят в состояние начального пучка с большой эффективностью:  $\eta(k_{\perp} \lesssim m/2, b \gtrsim 2/m) \sim 1$ .

В такой картине  $Re f(0)$  представляется весьма периферическим эффектом — ореолом. Этот вывод согласуется с имеющимися данными о форме зависимости  $Re f(t)$  и  $Im f(t)$  в  $pp$ -рассеянии при  $\sqrt{s}=53$  ГэВ, полученной из „derivативных” дисперсионных соотношений (рис. 1) <sup>12</sup>. Сравнивая положение дифракционных минимумов  $Re f(t)$  и  $Im f(t)$  находим, что отношение их радиусов  $\gtrsim 2,5$ .

#### Литература

1. Грибов В.Н. Первая школа физики ИГЭФ. М.: Атомиздат, 1973 г., вып. 1.
2. Low F.E. Phys. Rev., 1975, D12, 163.
3. Nussinov S. Phys. Rev., 1976, D14, 246.
4. Gunion J.F., Soper D.E. Phys. Rev., 1977, D15, 2617.
5. Alberi G., Goggi G. Phys. Reports, 1981, 74, N 1.
6. Burg J.P. et al. CERN/EP 81-78.
7. Feinberg E.L., Pomeranchuk I.Ia. Nuovo Cim., Suppl. III, 1956, 652.
8. Cood M.L., Walker W.D. Phys. Rev., 1960, 120, 1857.
9. Фейнберг Е.Л. УФН, 1980, 132, 255.
10. Bertsch G., Brodsky S.J., Goldhaber A.S., Gunion J.G. Phys. Rev. Lett., 1981, 47, 297.
11. Берестецкий В.Б., Терентьев М.В. ЯФ, 1976, 24, 1044.
12. Miettinen H.I. Proc. 9-th Rencontre de Moriand, Meribel les Allues, 1974.

Поступила в редакцию  
28 апреля 1982 г.  
После переработки  
9 июля 1982 г.